

# 曲げのみに抵抗する横桟を有する ワーリッドフレートの応力解析

北海道大学 工学部 正員 能町純雄  
室蘭工業大学 正員 松岡建一  
室蘭工業大学 大学院 学生員 ○古路太一

## 1. まえがき

従来の研究から、曲げのみに抵抗する部材を有する構造物において、モーメントの分配が十分良好なること、また、解析方法においても構造の規則性から定和分変換も用いて、境界値問題に帰着されることが明らかになった。以上のことを立体的な構造の形式として、図-1の如きものと考えられる。すなわち、曲げのみに抵抗する横桟を有する平面構造構造物か、下端で固定、両端で単純支持、上端で水平部材により連結されているものである。この構造物の解析の第1段階として、面外の荷重に対する挙動を調べるために、ワーリッドフレートの横桟が曲げのみに抵抗する構造を考えてみた。

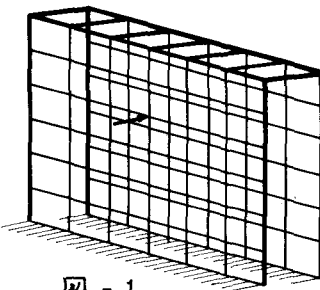


図-1

## 2. 解式

図-2に示すように横桟が曲げに抵抗し、せん断力をわりに抵抗しないワーリッドフレートにおいて、支持条件は、 $x = 0$ 、 $m$ で単純支持、 $y = 0$ 、 $n$ で任意とし、荷重条件としては格点で面に垂直な集中荷重が、 $y = 0$ 、 $n$ で $x$ 方向（ $x$ 軸まわり）および $x$ 方向（ $y$ 軸まわり）の外力モーメントと面に垂直なせん断力が作用しているとする。これらの外力は立体解析において、 $y = 0$ 、 $n$ での条件が決まりは定まる。次に面内の任意の一要素におけるつり合いを考えると、図-3に示す如く格点 $(x, y)$ において、縦材には $x$ 方向のねじりモーメントと $y$ 方向の曲げモーメントが、横材には $x$ 方向に曲げモーメントのみが作用している。

つり合式を差分表示すれば、

### 基本差分方程式

- モーメントのつり合式；

$$x \text{ 方向: } 2K_1\{\Delta_x^2 \bar{\theta}_{x-1,y} + 6\bar{\theta}_{xy} - \frac{3}{\lambda_1}\Delta_x \delta_{xy}\} - B_2 \Delta_y^2 \bar{\theta}_{x,y-1} = 0 \quad \cdots \cdots (1)$$

$$y \text{ 方向: } 2K_2\{\Delta_y^2 \theta_{xy-1} + 6\theta_{xy} - \frac{3}{\lambda_2}\Delta_y \delta_{xy}\} = 0 \quad \cdots \cdots (2)$$

- せん断力のつり合式；

$$\frac{6K_1}{\lambda_1}\{\Delta_x \bar{\theta}_{xy} - \frac{2}{\lambda_1}\Delta_x \delta_{x-1,y}\} + \frac{6K_2}{\lambda_2}\{\Delta_y \theta_{xy} - \frac{2}{\lambda_2}\Delta_y \delta_{x,y-1}\} = P_{xy} \quad \cdots \cdots (3)$$

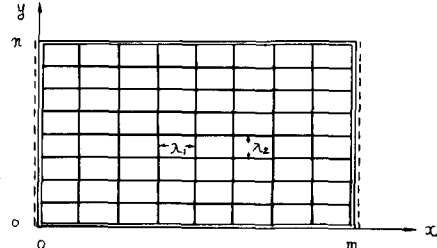


図-2

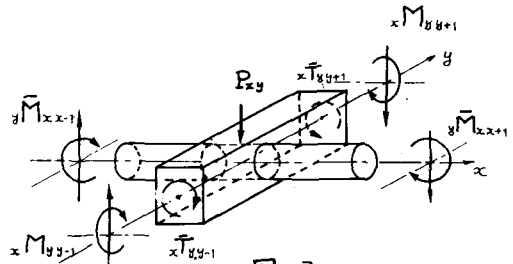
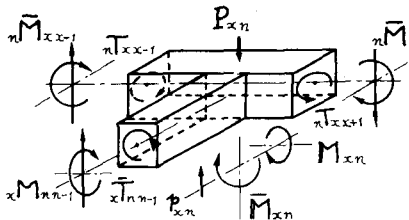


図-3

○ 構造の節点回転角,  $\kappa_1$ ; 中間構造の曲げ剛度,  $\delta$ ; 変位,  $P$ ; 集中荷重  
○ 縦構の節点回転角,  $\kappa_2$ ; 中間縦構の曲げ剛度,  $B_2$ ; 中間縦構のねじり剛度

境界条件式



•  $y = n$  におけるつり合ひ式

$$y\text{方向 } 2\kappa_2 \left\{ 2\theta_{xn} + \theta_{x,n-1} - \frac{3}{\lambda_2} (\delta_{xn} - \delta_{x,n-1}) \right\} \\ \text{のM; } -B_u \Delta_x^2 \theta_{x-1,n} + M_{xn} = 0 \quad \dots\dots (4)$$

$$x\text{方向 } 2\kappa_1 \left\{ \Delta_x^2 \bar{\theta}_{x-1,n} + 6\bar{\theta}_{xn} - \frac{3}{\lambda_1} \Delta_x \delta_{xn} \right\} \\ \text{のM; } +B_2 (\bar{\theta}_{xn} - \bar{\theta}_{x,n-1}) + M_{xn} = 0 \quad \dots\dots (5)$$

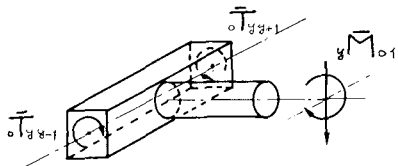
$$\text{せん断力; } -\frac{6\kappa_2}{\lambda_2} \left\{ \theta_{xn} + \theta_{x,n-1} - \frac{2}{\lambda_2} (\delta_{xn} - \delta_{x,n-1}) \right\} + \frac{6\kappa_1}{\lambda_1} \left\{ \Delta_x \bar{\theta}_{xn} - \frac{2}{\lambda_1} \Delta_x \delta_{x,n-1} \right\} + P_{xn} = P_{xn} \quad \dots\dots (6)$$

•  $y = 0$  におけるつり合ひ式

$$y\text{方向; } 2\kappa_2 \left\{ 2\theta_{x0} + \theta_{x1} - \frac{3}{\lambda_2} (\delta_{x1} - \delta_{x0}) \right\} - B_u \Delta_x^2 \theta_{x-1,0} + M_{x0} = 0 \quad \dots\dots (7)$$

$$x\text{方向; } 2\kappa_1 \left\{ \Delta_x \bar{\theta}_{x-1,0} + 6\bar{\theta}_{x0} - \frac{3}{\lambda_1} \Delta_x \delta_{x0} \right\} - B_2 (\bar{\theta}_{x1} - \bar{\theta}_{x0}) + M_{x0} = 0 \quad \dots\dots (8)$$

$$\text{せん断力; } \frac{6\kappa_2}{\lambda_2} \left\{ \theta_{x0} + \theta_{x1} - \frac{2}{\lambda_2} (\delta_{x1} - \delta_{x0}) \right\} + \frac{6\kappa_1}{\lambda_1} \left\{ \Delta_x \bar{\theta}_{x0} - \frac{2}{\lambda_1} \Delta_x^2 \delta_{x-1,0} \right\} + P_{x0} = P_{x0} \quad \dots\dots (9)$$



•  $x = 0, m$  におけるつり合ひ式

$x$ 方向のM;

$$2\kappa_1 \left\{ 2\bar{\theta}_{oy} + \theta_{yg} - \frac{3}{\lambda_1} \Delta_x \delta_{oy} \right\} - B_e \Delta_y^2 \bar{\theta}_{o,y-1} = 0 \quad \dots\dots (10)$$

$$2\kappa_1 \left\{ 2\bar{\theta}_{my} + \bar{\theta}_{m-1,y} - \frac{3}{\lambda_1} \Delta_x \delta_{m-1,y} \right\} - B_e \Delta_y^2 \theta_{m,y-1} = 0 \quad \dots\dots (11)$$

(4), (7), (10), (11) 式を考慮して (1) 式と  $x$  方向について  $\cos$  変換,  $y$  方向について  $\sin$  変換, (2) 式と  $x$  方向について  $\sin$  変換,  $y$  方向について  $\cos$  変換, (3) 式を  $x$ ,  $y$  方向について  $\sin$  変換すると,

$$J_i \cdot W_i = \bar{W}_i \quad \dots\dots (12)$$

$$\begin{aligned} J_i &= \begin{vmatrix} -\frac{12\kappa_1}{\lambda_1} \sin \frac{i\pi}{m} & 2\kappa_1 (G - D_i) + B_2 D_r & 0 \\ -\frac{12\kappa_2}{\lambda_2} \sin \frac{r\pi}{n} & 0 & 2\kappa_2 (G - D_r) \\ \frac{12\kappa_1}{\lambda_1} D_i + \frac{12\kappa_2}{\lambda_2} D_r & -\frac{12\kappa_1}{\lambda_1} \sin \frac{i\pi}{m} & -\frac{12\kappa_2}{\lambda_2} \sin \frac{r\pi}{n} \end{vmatrix} & W_i &= \begin{vmatrix} \Omega_2 i_r \\ \bar{\Theta}_1 i_r \\ \bar{\Theta}_2 i_r \end{vmatrix} \\ \bar{W}_i &= \begin{vmatrix} -\left(B_e - \frac{B_2}{2}\right) \left[ \left\{ (-1)^r ST1 - ST2 \right\} \sin \frac{r\pi}{n} + D_r \left\{ S_r [\bar{\theta}_{my}] (-1)^i + S_r [\bar{\theta}_{oy}] \right\} \right] \\ -B_2 \sin \frac{r\pi}{n} \left\{ (-1)^r TR_i [\bar{\theta}_{xn}] - R_i [\bar{\theta}_{x0}] \right\} \\ \frac{3\kappa_2}{\lambda_2} (4 - D_r) \left\{ S_i [\delta_{xn}] (-1)^r - S_i [\delta_{x0}] \right\} - D_i B_u \left\{ S_i [\theta_{xn}] (-1)^r + S_i [\theta_{x0}] \right\} \\ -S_i [M_{xn}] (-1)^r - S_i [M_{x0}] \\ + Q_i r - \frac{12\kappa_2}{\lambda_2} \sin \frac{r\pi}{n} \left\{ (-1)^r S_i [\delta_{xn}] - S_i [\delta_{x0}] \right\} \end{vmatrix} \end{aligned}$$

$$\text{但し. } \bar{\Theta}_1 i_r = S_r R_i [\bar{\theta}_{xy}] = \frac{1}{2} S_r [\bar{\theta}_{my}] (-1)^i + \frac{1}{2} S_r [\bar{\theta}_{oy}] + C_i S_r [\bar{\theta}_{xy}], \quad D_i = 2 \left( 1 - \cos \frac{i\pi}{m} \right)$$

$$\bar{\Theta}_2 i_r = S_i R_r [\theta_{xy}] = \frac{1}{2} S_i [\theta_{xn}] (-1)^r + \frac{1}{2} S_i [\theta_{x0}] + C_r S_i [\theta_{xy}], \quad D_r = 2 \left( 1 - \cos \frac{r\pi}{n} \right)$$

$$\Omega_2 i_r = S_i R_r [\delta_{xy}], \quad \bar{\Theta}_1 i_r = S_i S_r [P_{xn}],$$

$$ST1 = \bar{\theta}_{my} (-1)^i + \bar{\theta}_{on}, \quad ST2 = \bar{\theta}_{my} (-1)^r + \bar{\theta}_{oo}.$$

次に、境界条件式 (5), (8) 式を 4 隅におけるつり合ひを考慮して  $x$  方向に  $\cos$  変換し、(6), (9) 式を  $x$  方向に  $\sin$  変換したものとマトリックス表示すれば、

$$A_i \cdot B_i = E_i + F_i \quad \dots \dots \dots (13)$$

$$A_i = \begin{vmatrix} 2K_u(6-D_i) + B_2 & 0 & -\frac{12K_u \sin \frac{i\pi}{m}}{\lambda_1} & 0 & 0 & 0 \\ 0 & 2K_u(6-D_i) + B_2 & 0 & -\frac{12K_u \sin \frac{i\pi}{m}}{\lambda_1} & 0 & 0 \\ -\frac{12K_u \sin \frac{i\pi}{m}}{\lambda_1} & 0 & \frac{12K_2}{\lambda_2^2} + \frac{12K_u}{\lambda_1^2} D_i & 0 & -\frac{6K_2}{\lambda_2} & 0 \\ 0 & -\frac{12K_u \sin \frac{i\pi}{m}}{\lambda_1} & 0 & \frac{12K_2}{\lambda_2^2} + \frac{12K_u}{\lambda_1^2} D_i & 0 & \frac{6K_2}{\lambda_2} \end{vmatrix}$$

$$B_i = \begin{vmatrix} R_i[\bar{\theta}_{xn}] \\ R_i[\theta_{x0}] \\ S_i[\delta_{xn}] \\ S_i[\delta_{x0}] \\ S_i[\theta_{xn}] \\ S_i[\theta_{x0}] \end{vmatrix} \quad E_i = \begin{vmatrix} B_2 & 0 & 0 & 0 & 0 & 0 \\ 0 & B_2 & 0 & 0 & 0 & 0 \\ 0 & 0 & \frac{6K_2}{\lambda_2^2} & 0 & \frac{12K_2}{\lambda_2^2} & 0 \\ 0 & 0 & 0 & -\frac{6K_2}{\lambda_2} & 0 & \frac{12K_2}{\lambda_2^2} \end{vmatrix}$$

$$F_i = \begin{vmatrix} R_i[\bar{\theta}_{xn-1}] \\ R_i[\bar{\theta}_{x1}] \\ S_i[\theta_{xn-1}] \\ S_i[\theta_{x1}] \\ S_i[\delta_{xn-1}] \\ S_i[\delta_{x1}] \end{vmatrix} \quad F_i = \begin{vmatrix} -(Be - \frac{B_2}{2})(ST1 - ST3) - \{ C_i[\bar{M}_{xn}] + \bar{M}_{on} + (-1)^i \bar{M}_{mn} \} \\ -(Be - \frac{B_2}{2})(ST2 - ST4) - \{ C_i[\bar{M}_{x0}] + \bar{M}_{oo} + (-1)^i \bar{M}_{mo} \} \\ S_i[P_{xn}] - S_i[P_{x0}] \\ S_i[P_{x0}] - S_i[P_{xn}] \end{vmatrix}$$

$$\text{但し, } ST3 = \bar{\theta}_{mn-1}(-1)^i - \bar{\theta}_{on-1}, \quad ST4 = \bar{\theta}_{m1}(-1)^i + \bar{\theta}_{o1}$$

(12) 式から  $\bar{\theta}_{xn}$ ,  $\bar{\theta}_{in}$ ,  $\bar{\theta}_{er}$  は  $J_i^{-1}$  の逆マトリックス  $J_i^{-1}$  を左から作用されれば、

$$U_i = J_i^{-1} \cdot W_i \quad \dots \dots \dots (14)$$

つまり求まる。 (12), (13) 式中の境界値の中で (14) 式を逆変換して求められるものは、

$$\begin{aligned} S_i[\theta_{xn}] &= \frac{2}{n} \sum_{r=0}^n \bar{\theta}_{ir} \cos \frac{r\pi}{n} y \Big|_{y=n} & S_i[\theta_{x0}] &= \frac{2}{n} \sum_{r=0}^n \bar{\theta}_{ir} \cos \frac{r\pi}{n} y \Big|_{y=0} \\ S_i[\theta_{xn-1}] &= \frac{2}{n} \sum_{r=0}^{n-1} \bar{\theta}_{ir} \cos \frac{r\pi}{n} y \Big|_{y=n-1} & S_i[\theta_{x1}] &= \frac{2}{n} \sum_{r=0}^n \bar{\theta}_{ir} \cos \frac{r\pi}{n} y \Big|_{y=1} \\ R_i[\bar{\theta}_{xn-1}] &= \frac{2}{n} \sum_{r=1}^{n-1} \bar{\theta}_{ir} \sin \frac{r\pi}{n} y \Big|_{y=n-1} & R_i[\bar{\theta}_{x1}] &= \frac{2}{n} \sum_{r=1}^n \bar{\theta}_{ir} \sin \frac{r\pi}{n} y \Big|_{y=1} \\ S_i[\bar{\theta}_{my}] &= \frac{2}{m} \sum_{i=0}^m \bar{\theta}_{ir} \cos \frac{i\pi}{m} x \Big|_{x=m} & S_i[\bar{\theta}_{oy}] &= \frac{2}{m} \sum_{i=0}^m \bar{\theta}_{ir} \cos \frac{i\pi}{m} x \Big|_{x=0} \\ \bar{\theta}_{mn} &= \frac{2}{m} \sum_{i=0}^m R_i[\bar{\theta}_{xn}] \cos \frac{i\pi}{m} x \Big|_{x=m} & \bar{\theta}_{on} &= \frac{2}{m} \sum_{i=0}^m R_i[\bar{\theta}_{xn}] \cos \frac{i\pi}{m} y \Big|_{x=0} \\ \bar{\theta}_{mo} &= \frac{2}{m} \sum_{i=0}^m R_i[\bar{\theta}_{x0}] \cos \frac{i\pi}{m} x \Big|_{x=m} & \bar{\theta}_{oo} &= \frac{2}{m} \sum_{i=0}^m R_i[\bar{\theta}_{x0}] \cos \frac{i\pi}{m} y \Big|_{x=0} \\ \bar{\theta}_{mn-1} &= \frac{4}{mn} \sum_{i=0}^m \sum_{r=1}^{n-1} \bar{\theta}_{ir} \cos \frac{i\pi}{m} x \cdot \sin \frac{r\pi}{n} y \Big|_{x=m, y=n-1} & \bar{\theta}_{m1} &= \frac{4}{mn} \sum_{i=0}^m \sum_{r=0}^{n-1} \bar{\theta}_{ir} \cos \frac{i\pi}{m} x \cdot \sin \frac{r\pi}{n} y \Big|_{x=m, y=1} \\ \bar{\theta}_{on-1} &= \frac{4}{mn} \sum_{i=0}^m \sum_{r=1}^{n-1} \bar{\theta}_{ir} \cos \frac{i\pi}{m} x \cdot \sin \frac{r\pi}{n} y \Big|_{x=0, y=n-1} & \bar{\theta}_{o1} &= \frac{4}{mn} \sum_{i=0}^m \sum_{r=0}^{n-1} \bar{\theta}_{ir} \cos \frac{i\pi}{m} x \cdot \sin \frac{r\pi}{n} y \Big|_{x=0, y=1} \end{aligned}$$

である。よって結局、境界値として残るのは、 $R_i[\bar{\theta}_{xn}]$ ,  $R_i[\bar{\theta}_{x0}]$ ,  $S_i[\delta_{xn}]$ ,  $S_i[\delta_{x0}]$  である。これらより (13) 式は、次の如く表わせた。

$$A_i \cdot \begin{vmatrix} R_i[\bar{\theta}_{xy}] \\ R_i[\bar{\theta}_{xz}] \\ S_i[\delta_{xy}] \\ S_i[\delta_{xz}] \end{vmatrix} = G_i \quad \dots \dots \dots (15)$$

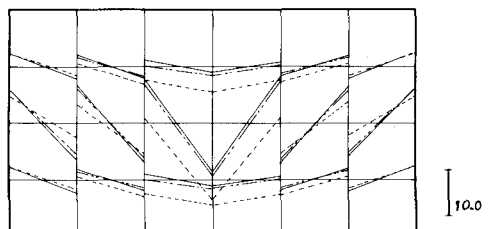
故に、(15)式より境界値が決まるから、 $\delta_{xy}$ ,  $\bar{\theta}_{xy}$ ,  $\theta_{xy}$ は(14)式を逆変換して次式となる。

$$\delta_{xy} = \frac{4}{mn} \sum_{i=1}^{m-1} \sum_{j=1}^{n-1} D_{ij} \sin \frac{i\pi}{m} x \cdot \sin \frac{n\pi}{n} y$$

$$\bar{\theta}_{xy} = \frac{4}{mn} \sum_{i=1}^m \sum_{j=1}^{n-1} D_{ij} \cos \frac{i\pi}{m} x \cdot \sin \frac{n\pi}{n} y$$

$$\theta_{xy} = \frac{4}{mn} \sum_{i=1}^{m-1} \sum_{j=0}^{n-1} D_{ij} \sin \frac{i\pi}{m} x \cdot \cos \frac{n\pi}{n} y$$

横枝の曲げモーメント図



### 3. 教値計算例

今、簡単のために、周囲が単純支持されており、集中荷重以外に外力が作用していない場合を考える。断面諸元は以下のとおりであるが、3種類のねじり剛度について計算した。尚、計算に際しては、北大のF230-60および室工大のF231を使用した。

$$\lambda_1 = 10.0, \lambda_2 = 15.0, K_1 = 444.0, K_2 = 196.0$$

$$m = 10, n = 6, a = 3, b = 2$$

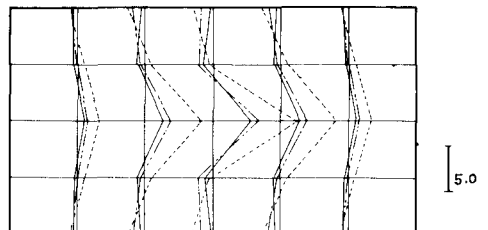
$$P = 5 \quad (\text{但し}, a, b \text{ は載荷点 } x, y \text{ の座標値})$$

$$\text{No 1: } B_E = B_2 = B_u = 500.0 \quad \dots \dots \dots$$

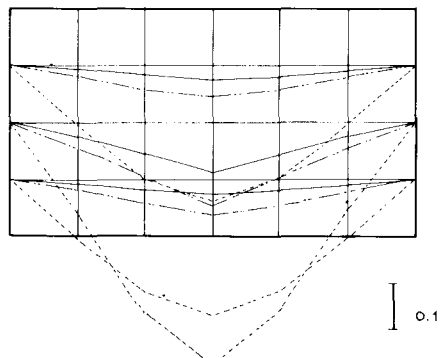
$$\text{No 2: } B_E = B_2 = B_u = 5000.0 \quad \dots \dots \dots$$

$$\text{No 3: } B_E = B_u = 50000.0, B_2 = 34600.0 \quad \dots \dots \dots$$

縦枝の曲げモーメント図



変位図



### 4. あとがき

曲げモーメント図より明らかなるように、縦枝のねじり剛が大きければモーメントの分配が良いことがわかる。

### 5. 参考文献

- 1) Sumio G. Namachi, Kenichi G. Matsuoka; Application of Finite Fourier Transforms for Structural Mechanics (Proceedings of the Twentieth Japan National Congress for Applied Mechanics 1970)
- 2) Sumio G. Namachi ; On a Stress Analysis of Grid Plate by Finite Fourier Transforms Concerning Finite Integration (Proceedings of the Sixteenth Japan National Congress for Applied Mechanics 1966)